

بررسی اثر روش‌های خشک کردن بر ویژگی‌های صمغ دانه بالنگو

فخرالدین صالحی^{a*}، مهدی کاشانی نژاد^b

^a استادیار گروه علوم و صنایع غذایی، دانشکده فنی و منابع طبیعی تويisrکان، دانشگاه بوعلی سینا، همدان، ایران

^b دانشیار دانشکده صنایع غذایی، دانشگاه علوم کشاورزی و منابع طبیعی گرگان، گرگان، ایران

تاریخ پذیرش مقاله: ۱۳۹۳/۹/۲۸

تاریخ دریافت مقاله: ۱۳۹۳/۶/۲۰

۹۷

چکیده

مقدمه: هیدروکلوفیدها (صمغ‌ها) به مجموعه‌ای از پلی‌ساکاریدها و پروتئین‌ها اطلاق می‌شوند که در آب حل یا پخش شده و ویسکوزیته را افزایش می‌دهند. هدف از این پژوهش بررسی اثر روش‌های مختلف خشک کردن بر خصوصیات رئولوژیکی و بافتی صمغ دانه بالنگو می‌باشد.

مواد و روش‌ها: سه روش متفاوت شامل خشک کردن در هوای داغ (۴۰، ۵۰، ۶۰ و ۷۰ درجه سانتی گراد)، خشک کن انجامدی و تحت خلاء مورد مطالعه قرار گرفت. خصوصیات رئولوژیکی و بافتی محلول‌ها (۰/۵۵ و ۳ درصد) به ترتیب توسط ویسکومتر چرخی بروکفیلد و دستگاه آنالیز بافت اندازه‌گیری گردید.

یافته‌ها: ویسکوزیته ظاهری محلول‌های خشک شده از صمغ‌های خشک شده در شرایط مختلف و در سرعت برشی برابر ۶۰ بر ثانیه در محدوده ۰/۰۵۶ تا ۰/۰۲۰ پاسکال ثانیه می‌باشد. با افزایش دمای هوای داغ از ۴۰ به ۸۰ درجه سانتی گراد، مقدار ویسکوزیته صمغ‌ها از ۰/۰۵۶ به ۰/۰۵۷ پاسکال ثانیه کاهش می‌یابد (سرعت برشی ۶۰ بر ثانیه). مقدار عددی سفتی، نیروی چسبندگی، قوام و چسبندگی به ترتیب در محدوده ۱/۳۳ تا ۹/۴۶ گرم، ۳/۲۴۵ تا ۸/۴۸۷ گرم در ثانیه و ۱/۶۴ تا ۸/۱۳۰ گرم در ثانیه برای ژلهای خشک شده از صمغ‌های خشک شده (۳٪ وزنی/وزنی) در شرایط مختلف می‌باشد.

نتیجه گیری: نتایج نشان داد که صمغ خشک شده درون خشک کن انجامدی بیشترین مقدار ویسکوزیته را دارد و با افزایش دمای هوای داغ مقدار ویسکوزیته صمغ‌ها کاهش می‌یابد. بیشترین مقدار عددی مربوط به سفتی و قوام بافت صمغ مربوط به نمونه‌های خشک شده درون خشک کن انجامدی می‌باشد.

واژه‌های کلیدی: چسبندگی، خشک کن انجامدی، خلاء، رئولوژی، قوام

* نویسنده مسئول مکاتبات

email: FS1446@yahoo.Com

مقدمه

کربوهیدرات‌ها فراوان ترین و متنوع‌ترین گروه ترکیبات آلی موجود در طبیعت هستند. عبارت هیدروکلوفید (صمغ) به مجموعه‌ای از پلی‌ساقاریدها و پروتئین‌ها اطلاق می‌شوند که در آب حل یا پخش شده و ویسکوزیته را افزایش می‌دهند. امروزه مصرف هیدروکلوفیدها در صنایع غذایی افزایش چشمگیری یافته و به طور گسترده برای افزایش غلظت، حفظ و بهبود بافت محصولات غذایی، تشکیل ژل و فیلم، تثیت کف، امولسیون‌ها، دیسپرسیون‌ها، ممانعت از تشکیل کریستال‌های یخ و شکر و همچنین آزادسازی کنترل شده طعم‌ها به کار می‌روند. این ترکیبات اگر چه در غلظت کمتر از ۱٪ به کار می‌روند، اما قادرند اثر معنی‌داری بر خواص بافتی و ارگانولپتیکی مواد غذایی داشته باشند (Razavi & Mirhosseini, 2012).

(et al., 2012; Amid & Mirhosseini, 2012) کاربرد و اهمیت هیدروکلوفیدها به خواص عملکردی آنها بستگی دارد. خصوصیات عملکردی هیدروکلوفیدها در مواد غذایی به ساختار ملکولی، غلظت، pH، دما و واکنش‌دهی با سایر ترکیبات ماده غذایی مانند نمک‌ها، کربوهیدرات‌ها، چربی‌ها، پروتئین‌ها... وابسته می‌باشد. اخیراً تقاضا برای هیدروکلوفیدها با خواص عملکردی ویژه افزایش یافته است، بنابراین دستیابی به منابع جدید صمغ‌ها با خواص مناسب جهت استفاده در صنعت اهمیت ویژه ای دارد. موسیلاژهای دانه‌ای و پلی‌ساقاریدهای گیاهی به دلایلی مانند قابلیت دسترسی بالا، طبیعی بودن، خواص درمانی و قیمت مناسب، اهمیت ویژه‌ای دارند (Mirhosseini & Amid, 2012).

دانه بالنگو (*Lallemantia royleana*), گیاهی از تیره نعناعیان، به شکل بیضی کشیده می‌باشد که در آسیا و شمال اروپا امکان کشت و برداشت آن وجود دارد. دانه بالنگو در هنگام قرار گرفتن در آب به راحتی متورم شده و مقدار زیادی موسیلاژ (صمغ محلول در آب) ایجاد می‌کند که در طب سنتی کاربرد گسترده‌ای دارد (Mohammad, 2012).

(Naghibi et al., 2005; Amini & Razavi, 2012) بررسی خصوصیات رئولوژیکی و ویسکوزیته مواد قبل از طراحی فرآیندهایی شامل انتقال سیالات، استخراج،

فیلتراسیون، پاستوریزاسیون، تبخیر و خشک کردن ضروری می‌باشد (Marcotte et al., 2002). خصوصیات صمغ‌ها تحت تاثیر روش استخراج و شرایط خشک کردن آنها می‌باشد (Amid & Mirhosseini, 2012).

تحقیقان روش‌های مختلفی را برای خشک کردن صمغ استخراج شده از دانه گیاهان مورد استفاده قرار داده اند تا به یک محصول با کیفیت و خواص رئولوژیکی بالا دست یابند. این روش‌ها شامل خشک کردن هوای داغ (Razavi et al., 2012; Wang et al., 2010)، بستر سیال (Cunha et al., 2000)، ماکروویو تحت خلاء (Moreira, 2009)، انجامدادی (Sundaram et al., 2008) Wang et al., 2009; Amid & Mirhosseini, 2012; و پاششی (Nep & Conway, 2011) می‌باشد.

Amid & Mirhosseini (۲۰۱۲) اثر روش‌های خشک کردن شامل هوای داغ، انجامدادی، پاششی و تحت خلاء را بر خصوصیات رئولوژیکی صمغ دانه دیوران^۱ مورد بررسی قرار دادند. نتایج بدست آمده نشان دادند که روش خشک کردن تاثیر معنی‌داری بر ویسکوزیته و رنگ صمغ دارد.

همچنین Nep & Conway (۲۰۱۱) گزارش کردند که روش خشک کردن صمغ گروپیا^۲ باعث تغییر ویسکوزیته آن در محدوده ۰/۲۰ تا ۰/۳۲ پاسکال ثانیه می‌شود. همچنین صمغ خشک شده در روش هوای داغ نسبت به روش‌های خشک کردن انجامدادی و پاششی ویسکوزیته بیشتری از خود نشان می‌دهد.

بررسی منابع مختلف نشان می‌دهد که تا کنون مطالعه‌ای در خصوص بررسی اثر روش‌های مختلف خشک کردن بر خصوصیات رئولوژیکی و بافتی صمغ دانه‌های بومی ایران انجام نشده است. هدف از این پژوهش بررسی اثر روش‌های مختلف خشک کردن شامل خشک کردن با هوای داغ در محدوده دمایی ۴۰ تا ۸۰ درجه سانتی‌گراد، خشک کردن انجامدادی و تحت خلاء بر خصوصیات رئولوژیکی و بافتی (سفقی، نیتروی چسبندگی، قوام و چسبندگی) صمغ استخراج شده از دانه بالنگو می‌باشد.

^۱ Durian Seed Gums

^۲ Grewia Gum

VO, Memmert Universal, Schwabach, Germany) با دمای ۵۰ درجه سانتی گراد و فشار ۱۰۰ میلی بار قرار گرفت (Salehi *et al.*, 2014).

بعد از طی زمان خشک شدن، نمونه های خشک شده ۲ درصد رطوبت، آسیاب شده و سپس از الک با مش ۳۵ عبور داده شدند. نمونه های تهیه شده جهت انجام آزمایشات رئولوژیکی و بافتی، درون کیسه های پلاستیکی در بسته قرار گرفتند.

- آماده سازی نمونه ها

محلول های هیدروکلوریک در دو غلظت ۰/۰۵٪ (وزنی/ وزنی) برای آزمایشات ویسکومتری و ۳٪ (وزنی/ وزنی) برای بررسی خصوصیات بافت سنگی، با حل کردن پودر صفحه خشک شده درون آب مقطر با کمک یک همزن (۲۵۰ دور در دقیقه)، بدست آمدند. غلظت ۰/۰۵٪ بر اساس غلظت موسیلاژ استخراجی از دانه (قبل از خشک کردن) انتخاب شد تا اثر تیمارها بر خصوصیات رئولوژیکی صفحه با نمونه شاهد مقایسه گردد. غلظت ۳ درصد نیز براساس بررسی منابع و آزمون خطای جهت مطالعه خصوصیات بافتی در یک سیستم مدل انتخاب شد آبگیری کامل صفحه، به مدت ۲۴ ساعت در دمای اتاق (۲۵ درجه سانتی گراد) نگهداری شدند (Razavi *et al.*, 2012).

- اندازه گیری ویسکوزیته

ویسکوزیته نمونه ها با استفاده از یک دستگاه ویسکومتر Brookfield, model RVDV-II+ (pro, USA) در محدوده سرعت برشی ۶/۰ تا ۱۲۰ بر ثانیه در دمای ۲۵ درجه سانتی گراد، با استفاده از اسپیندل شماره ۲ (Brookfield, RV2-S02) اندازه گیری شدند. مقادیر مربوط به سرعت برشی و تنش برشی با استفاده از داده های بدست آمده از دستگاه ویسکومتر و معادلات Mitschka (۱۹۸۲) محاسبه گردید. بر اساس بررسی های انجام شده، مدل های قانون توان^۱ (معادله ۱) و هرشل بالکلی^۲ (معادله ۲) جهت بررسی خصوصیات رئولوژیکی صفحه دانه بالنگو مناسب تشخیص داده شدند و از این دو مدل برای بررسی

مواد و روش ها

- استخراج صفحه

دانه بالنگو از بازار گرگان خریداری و به روش غربالگری، ناخالصی های همراه دانه حذف شد. جهت استخراج صفحه، ابتدا دانه های بالنگو به مدت ۲۰ دقیقه درون آب مقطر با دمای ۲۵ درجه سانتی گراد، در pH برابر ۷ و نسبت آب به دانه برابر ۲۰ به ۱ قرار گرفتند (Salehi *et al.*, 2014). سپس صفحه خارج شده توسط دستگاه Panasonic, MJ-J176P, Japan) استخراج کننده (Panasonic, MJ-J176P, Japan) از دانه جدا گردید. موسیلاژ بدست آمده در آون (۱۰/۵ درجه سانتی گراد و ۴ ساعت) خشک و مشاهده گردید که دارای غلظت صفحه دانه بالنگو برابر ۰/۰۵٪ درصد می باشد. بعد از فرآیند استخراج، موسیلاژ ها درون خشک کن ها با شرایط مورد نظر قرار گرفتند. ویسکوزیته موسیلاژ بدست آمده قبل از خشک کردن به عنوان نمونه شاهد نیز اندازه گیری شد.

- خشک کردن نمونه ها

در این پژوهش جهت بررسی اثر روش های مختلف خشک کردن بر خصوصیات رئولوژیکی و بافتی صفحه دانه بالنگو، صفحه استخراج شده از دانه بالنگو درون خشک کن های مختلف قرار گرفت. جهت حذف اثر زمان بر تغییر خصوصیات صفحه ها، مدت زمان قرار گرفتن درون خشک کن ها یکسان و به مدت ۴۸ ساعت در نظر گرفته شد. در مدت زمان ۴۸ ساعت موسیلاژ استخراجی به طور کامل درون تمامی خشک کن ها خشک می شود.

خشک کردن با هوای داغ^۳ توسط یک دستگاه Convection oven, Memmert (Universal, Schwabach, Germany) در دماهای ۴۰، ۵۰، ۶۰ و ۷۰ درجه سانتی گراد و در سرعت جریان برابر ۱ متر بر ثانیه انجام پذیرفت.

جهت خشک کردن نمونه ها درون خشک کن انجام دادی^۴، دمای دستگاه خشک کن انجام دادی (Operon freeze-dryer, Operon Co Ltd, Korea) بر روی -۴۰ درجه سانتی گراد تنظیم شد.

موسیلاژ دانه بالنگو درون ظروف پلیمری و با ضخامت ۱ سانتی متر در خشک کن تحت خلاء^۵ (Vacuum oven)

^۱ Control Sample (CS) ² Control Sample (CS)

³ Power Law Model ⁶ Herschel-Bulkley's Model

^۳ Freeze Drying (FD) ⁴ Vacuum Oven Drying (VO)

سانتی‌گراد قرار گرفت. پروب استوانه‌ای با قطر ۲۵ میلی‌متر، با سرعت ۱/۰ میلی‌متر بر ثانیه و به عمق ۱۵ میلی‌متر جهت انجام آزمون نفوذ و بدست آوردن خصوصیات بافتی استفاده گردید (Zameni *et al.*, 2014; Naji *et al.*, 2013). سرعت پروب قبل و بعد از آزمون ۱/۰ میلی‌متر بر ثانیه در نظر گرفته شد. پارامترهای بافت‌سنگی شامل، سفتی^۲، نیروی چسبندگی^۳، قوام^۴ و چسبندگی^۵ بدست آمدند.

یافته‌ها

- اثر نوع خشک کن بر ویسکوزیته ظاهری همانطور که در شکل ۱ ملاحظه می‌شود، در تمامی نمونه‌های با افزایش سرعت برشی، ویسکوزیته ظاهری صمغ‌ها کاهش می‌یابد. با افزایش سرعت برشی از ۰/۶ به ۱۲۰ بر ثانیه، ویسکوزیته ظاهری برای صمغ خشک شده درون خشک‌کن انجام‌دادی از ۵/۲ به ۱۲۷ پاسکال ثانیه کاهش یافت.

در شکل ۲ تاثیر روش‌های مختلف خشک کردن بر ویسکوزیته ظاهری محلول صمغ دانه بالنگو در سرعت برشی برابر ۶۰^۱ به نمایش در آمد. بیشترین ویسکوزیته مربوط به صمغ استخراج شده قبل از فرآیند خشک کردن است (۲۳۶ پاسکال ثانیه در سرعت برشی ۸۰ برابر ۶۰ بر ثانیه). با افزایش دمای هوای داغ از ۴۰ به ۸۰ درجه سانتی‌گراد، ویسکوزیته صمغ دانه بالنگو از ۱۶۱ پاسکال ثانیه به ۰/۰۵۶ پاسکال ثانیه کاهش می‌یابد (سرعت برشی برابر ۶۰^۱). اثر روش خشک کردن بر ویسکوزیته صمغ‌های پلی‌ساقاریدی ممکن است به دلیل خصوصیات مختلف مواد محلول تشکیل شده باشد.

در جدول ۱ پارامترهای برازش شده مدل قانون توان برای محلول صمغ دانه بالنگو به نمایش درآمده است. ضریب قوام (k_p) مربوط به این صمغ با استفاده از این مدل در محدوده ۰/۰۳-۲/۰۳ Pa sⁿ بدست آمد. همانطور که در شکل ۱ ملاحظه شده، صمغ دانه بالنگو دارای رفتار شل شونده با افزایش سرعت برش است و شاخص رفتار جریان گزارش شده در این جدول نیز کمتر از ۱ می‌باشد، که معرف سیال شل شونده با برش می‌باشد. مقدار عددی

خصوصیات مستقل از زمان استفاده گردید.

$$\tau = k_p \dot{\gamma}^{n_p} \quad (1)$$

در رابطه ۱، τ تنفس برشی (پاسکال)، k_p ضریب قوام (پاسکال)، $\dot{\gamma}$ سرعت برشی (s⁻¹) و n_p شاخص رفتار جریان برای مدل قانون توان می‌باشند.

$$\tau = \tau_{0H} + k_H \dot{\gamma}^{n_H} \quad (2)$$

در رابطه ۲، τ تنفس برشی (پاسکال)، τ_{0H} تنفس تسلیم (پاسکال)، k_H ضریب قوام (Pa.sⁿ) و n_H شاخص رفتار جریان برای مدل هرشل بالکلی می‌باشند. به منظور مدل کردن داده‌های تجربی تنفس برشی در برابر سرعت برشی و بدست آوردن ثابت‌های مدل‌های رئولوژیکی، از نرم‌افزار Curve Expert ویرایش ۱/۳۴ استفاده شد.

آزمایش‌ها به صورت فاکتوریل در قالب طرح کاملاً تصادفی انجام گردید. برای رسم نمودارها از برنامه (۲۰۰۷) Excel و برای تجزیه و تحلیل آماری از نرم‌افزار SAS 9.1.3 در سطح معنی‌داری ۵٪ استفاده شد. مقایسه میانگین‌ها نیز به روش آزمون چند دامنه‌ای دانکن صورت گرفت.

آنالیز بافت

بافت مواد غذایی به عنوان یکی از مهم‌ترین خصوصیات کیفی محصول، نقش مهمی در پذیرش کلی مصرف کنندگان دارد. ارزیابی چسبندگی به روش دستگاهی نخستین بار توسط Friedman و همکاران (۱۹۶۳) با استفاده از یک بافت سنج انجام شد. یک پروب سیلندری با یک مسیر دایره‌ای به عنوان کنترل کننده سرعت نمونه و سپس کشش استفاده گردید. خصوصیات بافتی ژل تهیه شده از صمغ‌های خشک شده دانه بالنگو، با استفاده از دستگاه بافت‌سنج^۱ (TA-XT Plus, Stable Micro Systems Ltd., Surrey, UK) و نرم‌افزار مربوطه (Texture Expert 1.05) مورد بررسی قرار گرفت. ژل تهیه شده به ارتفاع ۵۰ میلی‌متر درون ظروف پلاستیکی (با قطر و ارتفاع ۵۰ و ۶۰ میلی‌متر) و دمای ۲۵ درجه

^۱ Texture analyzer

^۲ Hardness

^۳ Stickiness

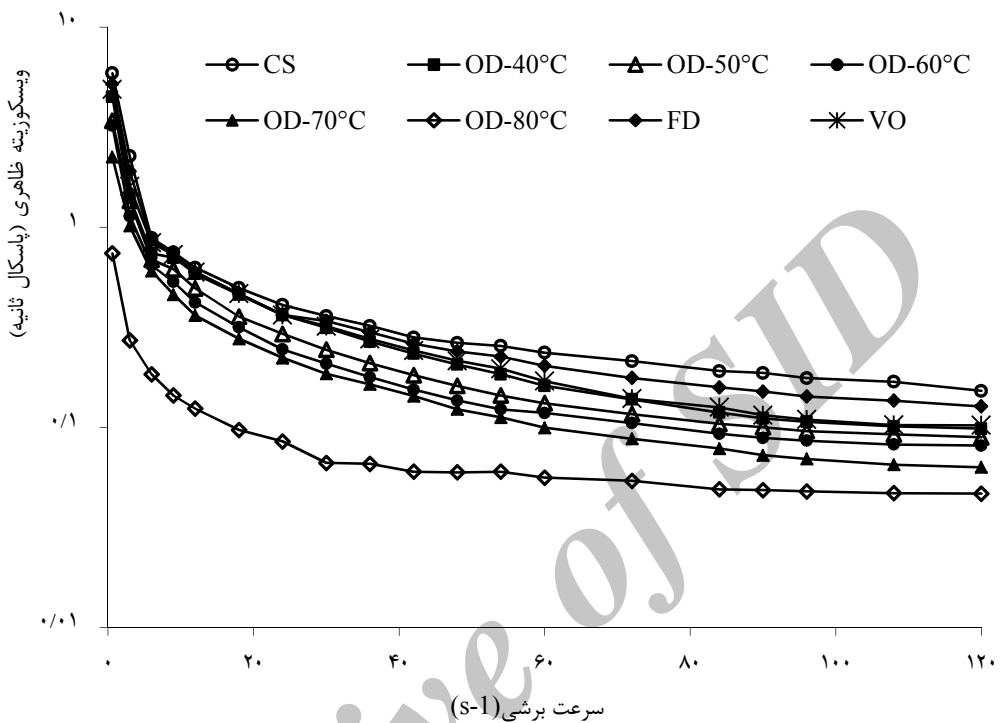
^۴ Consistency

^۵ Adhesiveness

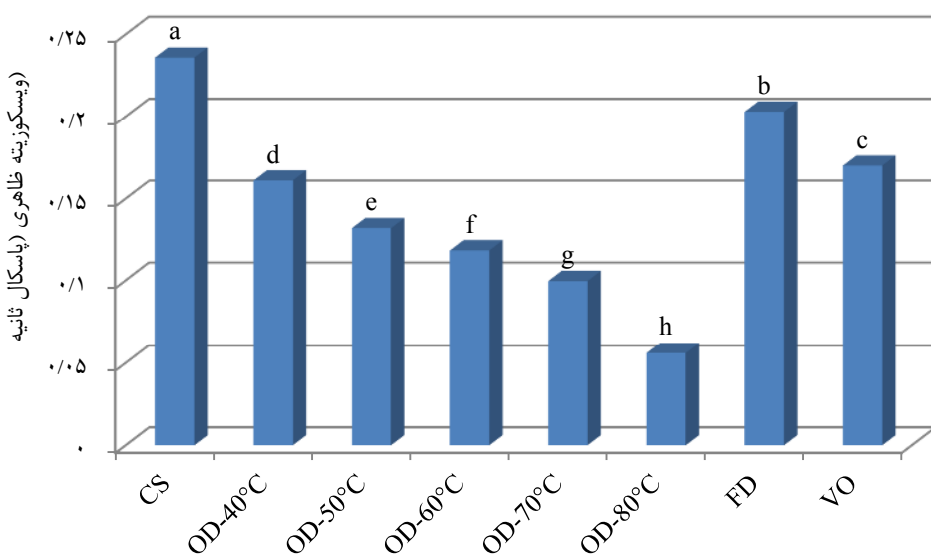
می‌شود، در تمامی صمغ‌های خشک شده تنش تسلیم مشاهده می‌شود. مقدار عددی تنش تسلیم برای این صمغ در محدوده ۰/۰۲ تا ۱/۶۷ پاسکال بدست آمد. ضریب قوام (k_H) مربوط به این صمغ با استفاده از این مدل در محدوده ۰/۰۴-۱/۷۵ Pa s^n بدست آمد.

شاخص رفتار جریان در این پژوهش از ۰/۲۱ تا ۰/۶۳ تغییر می‌کرد.

در جدول ۲ پارامترهای برآورد شده مدل هرشل بالکلی برای محلول صمغ دانه بالنگو خشک شده به روش‌های مختلف به نمایش درآمده است. همانطور که ملاحظه



شکل ۱- اثر روش‌های مختلف خشک کردن بر ویسکوزیته ظاهری محلول صمغ دانه بالنگو، تابعی از سرعت برشی، (CS نمونه شاهد، OD هوای داغ، FD انجمادی، VO تحت خلاء)



شکل ۲- اثر روش‌های مختلف خشک کردن بر ویسکوزیته ظاهری محلول صمغ دانه بالنگو (سرعت برشی برابر 60 s^{-1})، (CS نمونه شاهد، OD هوای داغ، FD انجمادی، VO تحت خلاء)

بررسی اثر روش‌های خشک کردن بر ویژگی‌های صمغ دانه بالنگو

خشک کردن خلا و انجمادی در یک سطح قرار دارند و با یکدیگر اختلاف معنی داری نشان نمی‌دهند. با افزایش دمای هوای داغ از 40°C به 80°C درجه سانتی‌گراد، سفتی بافت از $39/6$ به $33/6$ گرم کاهش می‌باید.

- اثر نوع خشک کن بر سفتی بافت

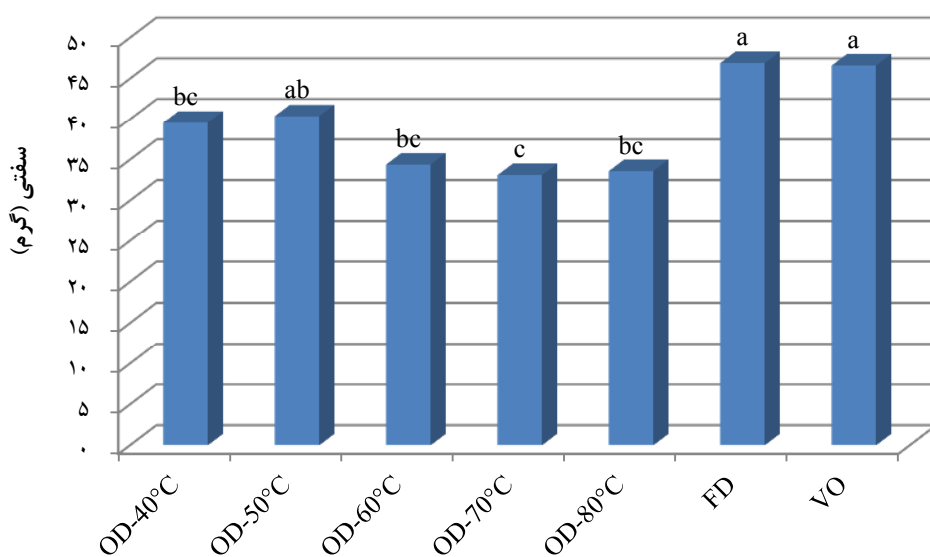
در شکل ۳ اثر روش‌های مختلف خشک کردن بر سفتی بافت ژل تهیه شده از صمغ دانه بالنگو به نمایش در آمده است. همانطور که ملاحظه می‌شود، روش‌های

جدول ۱- پارامترهای برازش شده مدل قانون توان برای محلول صمغ دانه بالنگو.

کد نمونه	$k_p (\text{Pa s}^n)$	n_p	r	SE
CS	۱/۴۱	۰/۳۹	۰/۹۹۶	۰/۱۹۹
OD-۴۰°C	۱/۸۶	۰/۲۴	۰/۹۷۸	۰/۲۶۵
OD-۵۰°C	۱/۶۹	۰/۲۲	۰/۹۸۱	۰/۱۸۲
OD-۶۰°C	۱/۴۰	۰/۲۳	۰/۹۸۰	۰/۱۷۴
OD-۷۰°C	۱/۲۸	۰/۲۱	۰/۹۸۷	۰/۱۰۹
OD-۸۰°C	۰/۱۰۳	۰/۶۳	۰/۹۹۱	۰/۱۰۱
FD	۱/۶۴	۰/۳۱	۰/۹۹۵	۰/۱۷۴
VO	۲/۰۳	۰/۲۰	۰/۹۷۷	۰/۲۲۵

جدول ۲- پارامترهای برازش شده مدل هرشل بالکلی برای محلول صمغ دانه بالنگو.

کد نمونه	$\tau_{0H} (\text{Pa})$	$k_H (\text{Pa s}^n)$	n_H	r	SE
CS	۰/۶۵	۱/۰۰	۰/۴۵	۰/۹۹۷	۰/۱۸۱
OD-۴۰°C	۱/۶۳	۱/۲۴	۰/۲۵	۰/۹۸۵	۰/۰۸۸
OD-۵۰°C	۰/۹۶	۰/۸۷	۰/۳۱	۰/۹۸۳	۰/۱۷۸
OD-۶۰°C	۱/۲۸	۰/۳۹	۰/۴۳	۰/۹۸۷	۰/۱۴۲
OD-۷۰°C	۰/۰۲	۱/۲۷	۰/۲۱	۰/۹۸۷	۰/۱۱۲
OD-۸۰°C	۰/۳۱	۰/۰۴	۰/۸۵	۰/۹۹۷	۰/۰۵۹
FD	۰/۱۵	۱/۷۵	۰/۳۰	۰/۹۹۵	۰/۱۷۹
VO	۱/۶۷	۱/۰۵	۰/۲۵	۰/۹۸۴	۰/۱۶۲



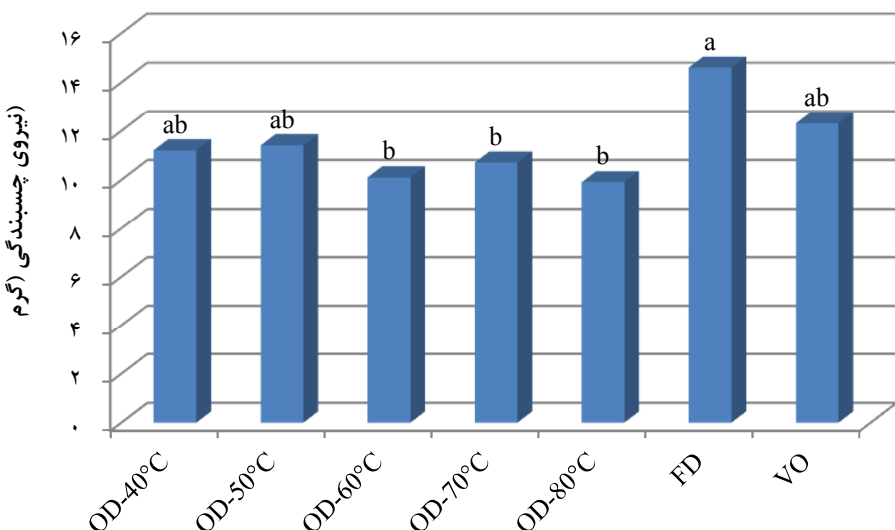
شکل ۳- اثر روش‌های مختلف خشک کردن بر سفتی بافت ژل تهیه شده از صمغ دانه بالنگو، (CS نمونه شاهد، OD هوای داغ، FD انجمادی، VO تحت خلاء)

- اثر نوع خشک کن بر قوام

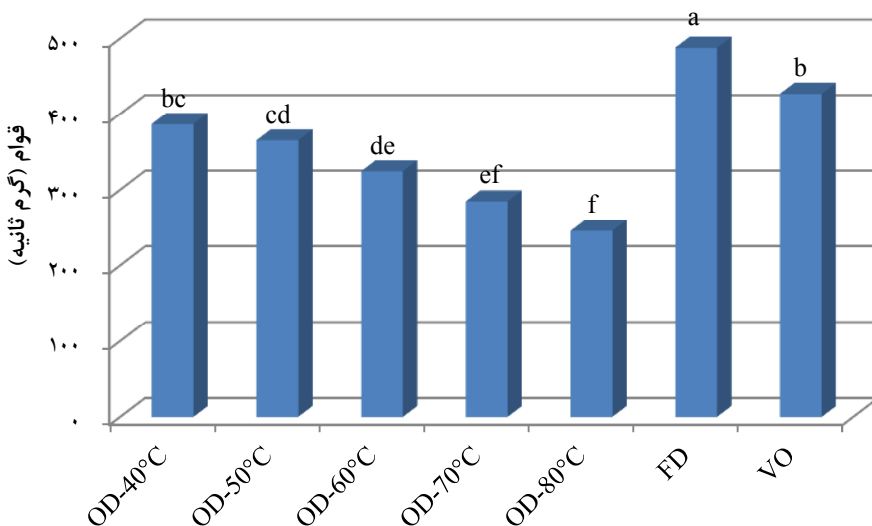
در شکل ۵ اثر روش‌های مختلف خشک کردن بر قوام ژل تهیه شده از صمغ دانه بالنگو به نمایش در آمده است. همانطور که ملاحظه می‌شود، روش خشک کردن موسیلاژ، اثر معنی‌داری بر قوام ژل تهیه شده از صمغ خشک شده دارد. بیشترین مقدار عددی مربوط به سفتی بافت، مربوط به صمغ خشک شده درون خشک کن انجامدی می‌باشد که برابر $487/8$ گرم در ثانیه می‌باشد. با افزایش دمای هوای داغ از 40°C به 80°C درجه سانتی‌گراد، باعث کاهش قوام بافت از $386/3$ به $245/3$ گرم در ثانیه می‌شود.

- اثر نوع خشک کن بر نیروی چسبندگی

در شکل ۴ اثر روش‌های مختلف خشک کردن بر نیروی چسبندگی ژل تهیه شده از صمغ دانه بالنگو به نمایش در آمده است. همانطور که ملاحظه می‌شود، اثر روش‌های خشک کردن خلاء، انجامدی و هوای داغ با دماهای 40°C و 50°C ، بر نیروی چسبندگی در یک سطح قرار دارند و با یکدیگر اختلاف معنی‌داری نشان نمی‌دهند. تغییر دمای خشک کن هوای داغ نیز تاثیر معنی‌داری بر نیروی چسبندگی ژل تهیه شده از صمغ دانه بالنگو ندارد. مقدار عددی نیروی چسبندگی در این پژوهش در محدوده $14/8$ تا $14/9$ گرم بدست آمد.



شکل ۴- اثر روش‌های مختلف خشک کردن بر نیروی چسبندگی بافت ژل تهیه شده از صمغ دانه بالنگو، (CS نمونه شاهد، OD هواي داغ، FD انجامدی، VO تحت خلاء)



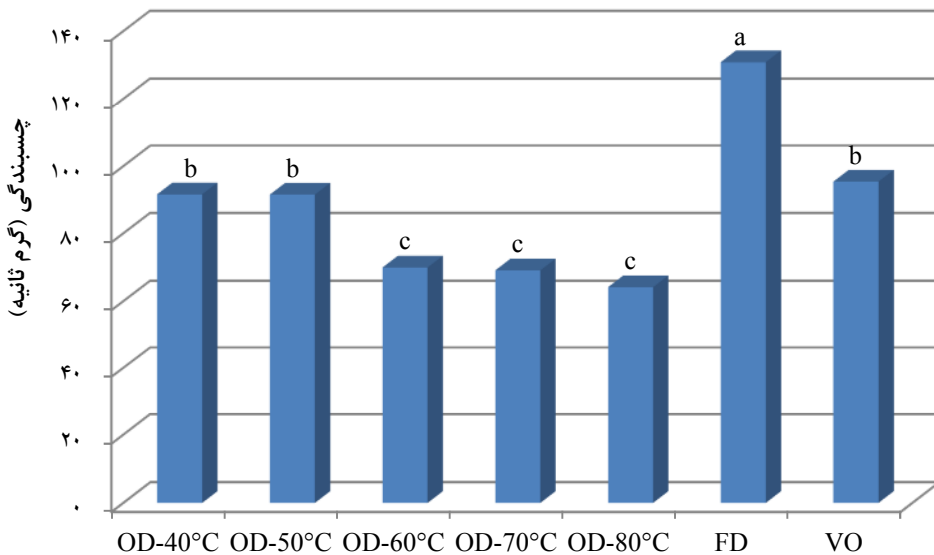
شکل ۵- اثر روش‌های مختلف خشک کردن بر قوام بافت ژل تهیه شده از صمغ دانه بالنگو، (CS نمونه شاهد، OD هواي داغ، FD انجامدی، VO تحت خلاء)

- اثر نوع خشک کن بر چسبندگی

نرم افزار دستگاه بافت سنج، نمودار نیرو-زمان را در طی حرکت پروب ثبت می کند و مساحت منفی زیر نمودار را به عنوان چسبندگی نمونه گزارش می دهد. چسبندگی مربوط به مقدار کار مورد نیاز برای غلبه بر نیروی کشش بین سطح ماده غذایی و سطح جسم در تماس با آن دارد. پارامتر چسبندگی یک فاکتور مثبت در فرآوردهای نانوایی و پودینگ‌ها می‌باشد و یک فاکتور منفی در فرآوردهایی چون اسپاگتی و فرآوردهای گوشتی مطرح می‌باشد (Fiszman & Damasio, 2000). در شکل ۶ اثر روش‌های مختلف خشک کردن بر چسبندگی بافت ژل تهیه شده از صمغ دانه بالنگو به نمایش در آمده است. اثر روش خشک کردن با خلاء بر چسبندگی با روش‌های انجمادی و هوای داغ در یک سطح قرار نداشته و با یکدیگر اختلاف معنی داری نشان می‌دهند. مقدار عددی چسبندگی بدست آمده در این پژوهش در محدوده ۶۴/۱ تا ۱۳۰/۸ گرم در ثانیه بدست آمد.

بحث

خصوصیات رئولوژیکی و کاربردی صمغ‌ها به روش استخراج و خشک کردن آنها وابسته است (Telis *et al.*, 2007)



شکل ۶- اثر روش‌های مختلف خشک کردن بر چسبندگی بافت ژل تهیه شده از صمغ دانه بالنگو، (CS نمونه شاهد، OD هوای داغ، FD انجمادی، VO تحت خلاء).

¹ Pseudoplastic Behavior

² Durian Seed Gum

هوای داغ دردهای ۶۰ تا ۸۰ درجه سانتی گراد در یک سطح قرار دارند و اختلاف معنی داری بایکدیگر ندارند. در نمودار نیرو زمان بافت سنجی، مساحت زیر نمودار از لحظه شروع آزمون تا رسیدن به حداقل تغییر شکل مورد نظر را قوام می نامند (Angioloni & Collar, 2009).

قوام بیانگر میزان کار مورد احتیاج برای غلبه بر نیروی داخلی بین باندهای نمونه می باشد. تغییر دمای خشک کن هوای داغ نیز تاثیر معنی داری بر قوام ژل دارد و با افزایش دمای هوای داغ قوام بافت کاهش یافت. Giri & Prasad (۲۰۰۷) در طی خشک کردن با استفاده از هوای داغ و خشک کن ماکرووبو تحت خلاء نتایج مشابه بدست آورند و گزارش کرند که خشک کردن با هوای داغ باعث تخریب بیشتر بافت می شود. صمغ خشک شده درون هوای داغ اگر چه نسبت به صمغ خشک شده درون خشک کن انجامدی قوام کمتری از خود نشان داد ولی به دلیل هزینه پایین تر این روش، امکان استفاده از آن در صنعت وجود دارد و دمای ۴۰ درجه سانتی گراد به دلیل خصوصیات بافتی مناسب و قوام بالا برای این کار مناسب می باشد.

همانطور که ملاحظه می شود، روش خشک کردن موسیلاز، اثر معنی داری بر چسبندگی ژل تهیه شده از صمغ خشک شده دارد و بیشترین مقدار عددی مربوط به چسبندگی بافت، مربوط به صمغ خشک شده درون خشک کن انجامدی می باشد.

نتیجه گیری

دانه بالنگو، یک دانه بومی ایران است که حاوی مقادیر زیادی هیدروکلوئید با خواص رئولوژیکی قابل توجه می باشد و قابلیت تولید انبوه آن در سطح تجاری وجود دارد. در این پژوهش اثر روش خشک کردن موسیلاز صمغ دانه بالنگو بر خصوصیات رئولوژیکی و بافتی آن مورد بررسی قرار گرفت. نتایج نشان داد که صمغ خشک شده رفتار شل شونده با برش را از خود نشان می دهد و مدل رئولوژیکی هرшел بالکلی جهت بررسی خصوصیات جریانی این صمغ مناسب تشخیص داده شد. همچنین صمغ خشک شده درون خشک کن انجامدی بالاترین ویسکوزیته را نسبت به سایر روش های خشک کردن از خود نشان می دهد.

صمغ تغییر می کند و صمغ خشک شده در ۸۰ درجه سانتی گراد حداقل ویسکوزیته را در محلول ایجاد می کند. روش خشک کردن به طور معنی داری ($p < 0.05$) بر نسبت مواد محلول و غیر محلول تشکیل شده تاثیر می گذارد (Ibanez & Ferrero, 2012) (۲۰۰۳) ویسکوزیته ظاهری صمغ استخراج شده از دانه *Prosopis flexuosa*^۱ (*P. flexuosa*) را در غلظت ۰/۴ درصد و سرعت برشی ۶۴ برش ثانیه، برابر $1/9$ پاسکال ثانیه گزارش کردند.

شاخص رفتار جریان بدست آمده برای صمغ بالنگو کمتر از ۱ می باشد، که معرف سیال شل شونده با برش یا سودوپلاستیک می باشد. مقدار عددی شاخص رفتار جریان مدل هرшел بالکلی از 0.021 ± 0.085 تا 0.026 ± 0.023 تغییر می کند. Marcotte و همکاران (۲۰۰۱) و Song و همکاران (۲۰۰۶) مقدار شاخص رفتار جریان مدل هرшел بالکلی برای صمغ گزانتان را به ترتیب برابر 0.024 ± 0.023 و گزارش کردند. مقدار ضریب همبستگی^۲ بالا و مقدار خطای استاندارد^۳ پایین بدست آمده از برآش مدل هرшел بالکلی با داده های تجربی، نشان از مناسب بودن این مدل می باشد و از این مدل داده های گزارش شده در جدول ۲ می توان جهت پیشگویی رفتار صمغ دانه بالنگو استفاده نمود.

بیشترین نیروی مشاهده شده در نمودار نیرو زمان در طی انجام آزمایشات بافت سنجی به عنوان سفتی بافت نمونه ها گزارش می شود. پارامتر سفتی عموماً برای بیان قدرت شبکه ژلی اندازه گیری می شود. بیشترین مقدار عددی مربوط به سفتی بافت (46.9 ± 4.6 گرم)، مربوط به صمغ خشک شده درون خشک کن انجامدی می باشد. افزایش دمای خشک کن هوای داغ نیز باعث کاهش سفتی بافت ژل تهیه شده از صمغ دانه بالنگو می شود.

نیروی چسبندگی به عنوان بیشترین نیروی لازم جهت غلبه بر نیروی چسبندگی بین سطح ماده غذایی و پروب تعریف می شود. در نمودار نیرو زمان بررسی خصوصیات بافتی، بیشترین نیرو در قسمت منفی نمودار به عنوان نیروی چسبندگی معرفی می شود (Basu & Shivhare, 2010). بیشترین مقدار عددی مربوط به نیروی چسبندگی (14.6 ± 1.4 گرم)، مربوط به صمغ خشک شده درون خشک کن انجامدی می باشد. سطوح دمایی در روش خشک کردن با

¹ *Prosopis Flexuosa DC Seeds*

² Correlation Coefficient (r)

³ Standard Error (SE)

بررسی اثر روش‌های خشک کردن بر ویژگی‌های صمغ دانه بالنگو

measurement. *Journal of Food Science.* 28, 390-396.

Giri, S. K. & Prasad, S. (2007). Drying kinetics and rehydration characteristics of microwave vacuum and convective hot-air dried mushrooms. *Journal of Food Engineering.* 78, 512-521.

Ibanez, M. C. & Ferrero, C. (2003). Extraction and characterization of the hydrocolloid from *Prosopis flexuosa* DC seeds. *Food Research International.* 36, 455-460.

Iglesias, O., Garcia, A., Roques M. & Bueno J. L. (1993). Drying of water gels: determination of the characteristic curve of agar-agar. *Drying Technology.* 11(3), 571-587.

Jimoh, K. O., Olurin, T. O. & Aina, J. O. (2009). Effect of drying method on the rheological characteristics and colour of yam flours. *African Journal of Biotechnology.* 8, 2325-2328.

Marcotte, M., Taherian Hoshahili, A. R. & Ramaswamy, H. S. (2001). Rheological properties of selected hydrocolloids as a function of concentration and temperature. *Food Research International.* 34, 695-703.

Mirhosseini, H. & Amid, B. T. (2012). A review study on chemical composition and molecular structure of newly plant gum exudates and seed gums, *Food Research International.* 46: 387-398.

Mitschka, P. (1982). Simple conversion of Brookfield R.V.T. readings into viscosity functions. *Rheologica Acta.* 21, 207-209.

Mohammad Amini, A. & Razavi, S. M. A. (2012). Dilute solution properties of Balangu (*Lallemandia royleana*) seed gum: Effect of temperature, salt, and sugar. *International Journal of Biological Macromolecules.* 51, 235-243.

Moreira, R. A. (2009). Isolation of a lectin and a galactoxyloglucan from *Mucuna sloanei* seeds, *Phytochemistry.* 70, 1965-1972.

Naghibi, F., Mosaddegh, M., Mohammadi Motamed, S. & Gorbani, A. (2005). Labiate family in folk medicine in Iran: from ethnobotany to pharmacology. *Iranian Journal of Pharmaceutical Research.* 2, 63-79.

Naji, S., Razavi, S. M. A. & Karazhiyan, H., (2013). Effect of freezing on functional and textural attributes of cress seed gum and xanthan gum, *Food and Bioprocess Technology.* 6(5), 1302-1311.

Nep, E. I. & Conway, B. R. (2011).

روش خشک کردن موسیلاز، اثر معنی‌داری بر خصوصیات بافتی ژل تهیه شده از صمغ دانه خشک شده دانه بالنگو دارد و صمغ خشک شده درون خشک کن انجامدی دارای خصوصیات بافتی مناسبی بوده و نسبت به سایر روش‌های خشک کردن دارای سفتی و قوام بیشتری می‌باشد. صمغ خشک شده درون هوای داغ اگر چه نسبت به صمغ خشک شده درون خشک کن انجامدی ویسکوزیته کمتری از خود نشان داد ولی به دلیل هزینه پایین‌تر و همچنین خصوصیات بافتی مناسب، امکان استفاده از آن در صنعت وجود دارد.

منابع

Amid, B.T. & Mirhosseini, H. (2012). Influence of different purification and drying methods on rheological properties and viscoelastic behaviour of durian seed gum. *Carbohydrate Polymers.* 90, 452-461.

Amin, A. M., Ahmad, A. S., Yin, Y., Yahya, N. & Ibrahim, N. (2007). Extraction, purification and characterization of durian (*Durio zibethinus*) seed gum. *Food Hydrocolloids.* 21, 273-279.

Angioloni, A. & Collar, C. (2009). Small and large deformation viscoelastic behavior of selected fiber blends with gelling properties. *Food Hydrocolloids.* 23, 742-748.

Barresi, A. A., Pisano, R., Fissore, D., Rasetto, V., Velardi, S. A. & Vallan, A. (2009). Monitoring of the primary drying of a lyophilization process in vials. *Chemical Engineering and Processing.* 48, 408-423.

Basu, S. & Shihhare, U. S. (2010). Rheological, textural, micro-structural and sensory properties of mango jam. *Journal of Food Engineering.* 100, 357-365.

Cunha, R. L. R., Maialle, K. G. & Menegalli, F. C. (2000). Evaluation of the drying process in spouted bed and spout fluidized bed of xanthan gum: Focus on product quality. *Powder Technology.* 107, 234-242.

Fiszman, S. M. & Damasio, M. H. (2000). Instrumental Measurement of Adhesiveness in Solid and Semi-Solid Foods. A Survey. *Journal of Texture Studies.* 31(1), 69-91.

Friedman, H. H., Whitney, J. E. & Szczesniak, A. S. (1963). The texturometer-A new instrument for objective texture

- Physicochemical characterization of *grewia* polysaccharide gum: Effect of drying method. *Carbohydrate Polymers*. 84, 446–453.
- Razavi, S. M. A., Mohammadi Moghaddam, T., Emadzadeh, B. & Salehi, F. (2012). Dilute solution properties of wild sage (*Salvia macrosiphon*) seed gum. *Food Hydrocolloids*. 29, 205-210.
- Salehi, F., Kashaninejad, M. & Behshad, V. (2014). Effect of sugars and salts on rheological properties of Balangu seed (*Lallemantia royleana*) gum. *International Journal of Biological Macromolecules*. 67, 16-21.
- Song, K. W., Kim, Y. S. & Chang, G. S. (2006). Rheology of concentrated xanthan gum solutions: steady shear flow behavior. *Fibers and Polymers*. 7(2), 129-138.
- Sundaram, J. & Durance, T. D. (2008). Water sorption and physical properties of locust bean gum–pectin–starch composite gel dried using different drying methods. *Food Hydrocolloids*. 22, 1352–1361.
- Telis, V. R. N., Telis-Romero, J. & Gabas, A. L. (2005). Solids Rheology for Dehydrated Food and Biological Materials. *Drying Technology*. 23(4), 759-780.
- Wang, Y., Li, D., Wang, L. J., Li, S. J. & Adhikari, B. (2010). Effects of drying methods on functional properties of flaxseed gum powders. *Carbohydrate Polymer*. 8, 128–133.
- Wang, Y., Wang, L. J., Li, D., Xue, J. & Mao, Z. H. (2009). Effects of drying methods on rheological properties of flaxseed gum. *Carbohydrate Polymers*. 78, 213–219.
- Zameni, A., Kashaninejad, M., Aalami, M. & Salehi, F. (2014). Effect of thermal and freezing treatments on rheological, textural and color properties of Basil seed gum. *Journal of Food Science and Technology*. DOI: 10.1007/s13197-014-1679-x.